

W-L-M

C(C₉H₇)₂

Indenyl
free radical
uncalcd.

39421n Electron diffraction studies of free radicals. I.
Indenyl. Schaefer, Lothar (Indiana Univ., Bloomington, Indiana). *J. Amer. Chem. Soc.* 1968, 90(15), 3919-25 (Eng). The decompn. products of diindenylcobalt, Co(C₉H₇)₂, were studied by electron diffraction. An anal. of the exptl. data showed the presence of indenyl free radical in the gaseous phase in a purity of at least 80%. This made possible a structural investigation of indenyl which produced the following results: (C₁-H₁)_{av.} 1.072 ± 0.02 Å. and (C₁-C₂)_{av.} = 1.415 ± 0.01 Å. The C-C bond-length av. agrees well with Hueckel M.O. calens. There is exptl. evidence that the mol. possesses different C-C bonds, some of which seem to deviate more from the av. than is predicted by Hueckel M. O. calens. It is more likely that they fall in the range of 1.37-1.46 Å. (±0.015) than in the theoretically predicted range of 1.398-1.431 Å. The bond-angles of the best model, which cannot be claimed to be the only soln., are $\beta = 121^\circ$ and $\alpha = 135^\circ$. Moreover, the described expt. represents the 1st example of an investigation of an unstable compd. by electron diffraction. It proves that the method may be expected to be a powerful tool in the study of similar cases.
23 references.

RCJC

C.A. 1968 · 69 · 10

4068

CH₂CHCo₂

2

Acet. II

1970

136612v Force constants in the acetylene molecule in a co-

balt-carbonyl complex and in an excited electronic state. Iwashita, Yuji (Cent. Res. Lab., Ajinomoto Co., Inc., Kawasaki, Japan). *Inorg. Chem.* 1970, 9(5), 1178-82 (Eng). An approx. normal-coordinate treatment has been made as a 6-body problem for the CH:CHCo₂ part of the CH:CHCo₂(CO)₆ mol. The values of 12 force consts. were detd. on the basis of 30 obsd. frequencies of 4 isotopic mols. (which contain ¹²CH:¹³CH, ¹²CD:¹²CH, ¹²CD:¹²CD, and ¹³CH:¹²CH) by the method of least squares. A similar normal-coordinate treatment was made of the acetylene mol. in an excited electronic state (¹A_u). The values of 6 force consts. were estd. on the basis of 6 obsd. frequencies. Five of the latter force-const. values are nearly equal to the values of the corresponding force consts. in the acetylene mol. in the complex.

RCHH

C.A. 1970.72.2b

CoC_2H_2

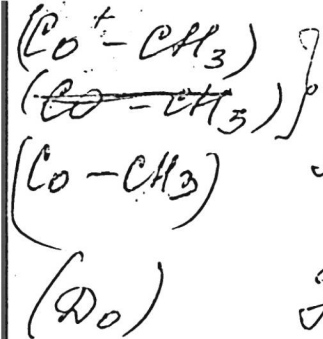
1979

Itoh Hiroyuki, et al.

racemic
2d. config.

Chem. Phys. Lett. 1979, 66,
N3, 531-34.

coll. FeC_2H_2 - II



1981

Armentrout P. B.,
et al.

J. Amer. Chem. Soc.
1981, 103, no 4, 789-791.

Proc. $\left. \begin{array}{l} (\text{Co}^+ - \text{H}) \\ (\text{Co} - \text{H}) \end{array} \right\}$; III).

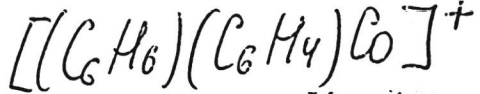
$\text{D}_0(\text{Co}^+ - \text{CH}_3)$

1981

$\text{D}_0(\text{Co}^+ - \text{CH}_2)$ Armentrout P. B.,
et al.

J. Am. Chem. Soc. 1981,

103 (21), 6501 - 6502.



1981

У5 Д114. О недействительности хартри-фоковских представлений в металлоценах. On the non-validity of the Hartree-Fock picture in metallocenes. Böhm Mischael C. «Chem. Phys. Lett.», 1981, 83, № 3, 533—538 (англ.)

В рамках полуэмпирич. ЧПДП-подхода продемонстрировано наличие нестабильности хартри-фоковского решения для металлоценов $[(C_6H_6)(C_4H_4)Co]^+$ (I) и $[(C_5H_5)(C_4H_4)Ni]^+$ (II), всех типов неустойчивости для II и только триплетной неустойчивости для I. Отмечено, что π -электроны аннуленов наряду с d -электронами дают заметный вклад в эффекты электронной корреляции.

А. Ф. Шестаков

хб. нех.
расчет



(H)



Ф 1982, 18, N5.

$\text{Co}(\text{C}_5\text{H}_5)_2$

1981

4 Д167. Исследование электронного строения кобальтоцена методом ЛКАО ХФС. An LCAO HFS investigation of the electronic structure of cobaltocene. Famiglietti C., Baerends E. J. «Chem. Phys.», 1981, 62, № 3, 407—421 (англ.)

Методом ЛКАО Хартри—Фока—Слэтера (ХФС) исследовано электронное строение кобальтоцена. В хорошем согласии с эксперим. данными рассчитаны потенциалы ионизации (по схеме Δ ССП) и энергии $d-d$ -переходов в спектрах поглощения, которые использованы для отнесения полос. Оценены величины энергий диссоциации, теплоты атомизации, сродства к электрону. Равновесное расстояние Со — цикл оценено в 1,72 Å (эксперим. значение 1,73). Детально проанализирована природа химич. связи и в согласии с общепринятыми представлениями показана доминирующая роль π -взаимодействий.

В. Л.

Ф. 1982, 18, № 4.

$\text{Co}(\text{C}_5\text{H}_5)_2$

1981

6 Б39. Исследование методом ЛКАО ХФС электронного строения кобальтоцена. Famiglietti C., Baetends E. J. An LCAO HFS investigation of the electronic structure of cobaltocene. «Chem. Phys.», 1981, 62, № 3, 407—421 (англ.)

Дискретным вариац. Ха-методом с использованием базиса аналитич. слейтеровских функций рассчитано электронное строение кобальтоцена (I). В приближении переходного состояния рассчитаны энергии ионизации и электронных возбуждений, позволившие интерпретировать эксперим. фотоэлектронный и оптич. спектры I. Распределение заряда и связи в I исследованы в рамках анализа заселенностей МО и в результате расчетов карт плотности ряда МО. Отдельно рассмотрены σ - π - и δ -компоненты связи атом металла — кольцо. Найдено, что доминирующий вклад в связь обусловлен π -составляющей; δ -составляющая мало влияет на энергетич. характеристики связи, однако приводит к

расчет E_1
 Δ_D, Δ_N атом.,
 A_e, λ_e

X.1982, 19, N6.

переносу заряда между Со и кольцами. Вычисленные значения энергии диссоциации I на Со и 2 кольца, теплоты атомизации кольца, сродства к электрону для свободного кольца и энергии ионизации атома Со согласуются с эксперим. данными. Оптимизированное значение расстояния Со-кольца 1,72 Å хорошо согласуется с эксперим. величиной 1,73 Å.

И. А. Тополь



C_2H_4Co 1982

Bögel H., Rasch G.

Богель, З. Chem., 1982,
смркты, 22, N5, 191-192.

E

(cell. C_2H_4Ti ; III)

1984

$\text{C}^+ - \text{C}_5\text{H}_5^-$

— 24 Б4056. Реакции FeCH_3^+ и CoCH_3^+ с циклическими углеводородами в газовой фазе. Reactions of FeCH_3^+ and CoCH_3^+ with cyclic hydrocarbons in the gas phase. Jacobson D. B., Freiser B. S. «J. Amer. Chem. Soc.», 1984, 106, № 14, 3900—3904 (англ.).

Методами масс-спектрометрии исследованы газофазные р-ции CoCH_3^+ и FeCH_3^+ с циклопропаном (I), цикlobутаном (II), цикlopентаном (III), циклогексаном (IV), цикlopентеном (V), циклогексеном (VI). С I и II FeCH_3^+ и CoCH_3^+ реагируют с разрывом кольца. Для I внедрение по связи С—С приводит к начальному образованию этил-этиленового комплекса $\text{M}(\text{C}_2\text{H}_5)(\text{C}_2\text{H}_4)^+$, к-рый существует в равновесии с гидридо-бис(этиленовым) комплексом $[\text{H}-\text{M}-(\text{C}_2\text{H}_4)_2^+]$. Элиминирование этилена приводит к образованию ионов MC_2H_5^+ , существующих в виде равновесных гидридо-этиленовых и этильных комплексов. С III и IV FeCH_3^+ и CoCH_3^+ реагируют с образованием стабильных метил-этиленовых комплексов. С III и IV FeCH_3^+ не реаги-

do;

X. 1984, 19, N 24.

рует, в то время как CoCH_3^+ реагирует с образованием комплексов без разрыва кольца (CoC_5H_5^+ , CoC_5H_7^+ и CoC_6H_7^+). Первичными продуктами р-ции FeCH_2^+ и CoCH_3^+ с V и VI являются комплексы MC_5H_5^+ и MC_6H_7^+ соотв. В комплексе CoC_5H_7^+ два атома H обмениваются на D с D_2 , в CoC_6H_7^+ — один атом, в FeC_6H_7^+ — ни одного. Комплексы, соотв. протонированым металлоценам, легко элиминируют атом H, образуя металлоцены. Оценены нижние границы значений энергии диссоциации связи $D^\circ(\text{Co}^+—\text{C}_5\text{H}_5)$ — 84 ккал/моль и $D^\circ(\text{Fe}^+—\text{C}_5\text{H}_5)$ — 66 ккал/моль.

С. С. Шашин

не
вост

$\text{Co}^+ - \text{C}_3\text{H}_5$

1984

ll gp.

24 Б4055. Реакции FeCH_3^+ и CoCH_3^+ с алифатическими углеводородами в газовой фазе. Reactions of FeCH_3^+ and CoCH_3^+ with Aliphatic Alkanes in the gas phase. Jacobson D. B., Freiser B. S. «J. Amer. Chem. Soc.», 1984 106, № 14, 3891—3899 (англ.)

Методами масс-спектрометрии исследованы газофазные р-ции CoCH_3^+ и FeCH_3 с метаном, этаном, пропаном, бутаном, пентаном, тексаном, 2-метилпропаном, 2,2-диметилпропаном, 2-метилбутаном, 2,3-диметилбутаном, 2,2-диметилбутаном. Ионы CoCH_3^+ и FeCH_3 генерировались по р-ции M^+ с CH_3J , протекающей по направлениям: $M^+ + \text{CH}_3\text{J} \rightarrow M\text{CH}_3^+ + \text{J}$ (1), $M^+ + \text{CH}_3\text{J} \rightarrow M\text{J}^+ + \text{CH}_3$ (2). Поскольку в случае Ni^+ р-ция протекает только по пути (2), св-ва NiCH_3^+ не были исследованы. Ион FeCH_3^+ не реагирует с исследованными алканами; CoCH_3^+ реагирует со всеми алканами, кроме метана и этана, внедряясь по связи C—H с потерей CH_4 и последующим дегидрогенированием или элиминированием низшего алкана с образованием продуктов

90;

X. 1984, 19, N24.

типа $\text{Co}(\text{аллил})^+$. Комплекс $\text{Co}(\text{аллил})^+$ быстро реагирует с алканами (кроме CH_4) преимущественно путем дегидрогенирования с образованием комплексов типа $\text{Co}(\text{аллил})(\text{алкен})^+$. Для CoCH_3^+ обнаружена способность отрывать гидрид-ион от алканов, кроме метана, этиана и 2,2-диметилпропана, с образованием ионов $\text{C}_n\text{H}_{2n+1}^+$. Определенные значения энергии диссоциации $D^\circ(\text{Co}^+-\text{C}_3\text{H}_5)$ не менее 72 ккал/моль, $D^\circ(\text{Co}^+-\text{бутадиен})$ не более 52 ккал/моль, $D^\circ(\text{CoCH}_3^+-\text{H}^-) = 256 \pm 10$ ккал/моль, $D^\circ(\text{Co}-\text{CH}_4) = 49 \pm 11$ ккал/моль и $\Delta H_f^\circ(\text{Co}-\text{CH}_4) = 35 \pm 11$ ккал/моль: С. С. Шашии

в
д
ост!

$\text{Co}^+ - \text{C}_6\text{H}_6$

1984

Jacobson D.B.,
Freiser B.S.

Журнал
guccolusus. J. Amer. Chem. Soc.,
1984, 106, N 16, 4623-
4624.

(Co^{2+} - Fe^{2+} ; III)



1986

Hettich R.L.,
Freiser B.S.

Do;

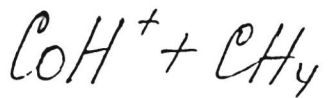
J. Amer. Chem. Soc., 1986,
108, N 10, 2537-2540.

(crys. FeCl_2^+ ; III)

(Om. 24153)

1986

$\frac{\partial_o(C^+ - CH_2)}{\partial_o(C^+ - CH)}$ Hettich R. L., Freiser B. S.,
 $\frac{\partial_o(C^+ - CH)}{\partial_o(C^+ - C)}$ J. Amer. Chem. Soc., 1986,
 $\underline{108}$, N10, 2537-2540.



1986

Коудамовский ? А. А.,
Тарасен С. Г.

Узб. АН СССР. Сер. хим.,
1986, № 6, 1291 - 1294.

сер. $\text{NiH}^+ + \text{CH}_4$; III

$\text{CH}_3\text{CCo}(\text{CO})_9$

1986

16 Б1224. Использование уточнения профиля спектров неупругого рассеяния нейтронов для расчета частот и форм нормальных колебаний молекул. A profile-refinement approach for normal-coordinate analyses of inelastic neutron-scattering spectra. Keagley G. J. «J. Chem. Soc. Faraday Trans.», 1986, PT2, № 1, 41—48 (англ.)

Развит подход, позволяющий оценить набор гармонич. силовых постоянных молекулы из частот колебаний и среднеквадратичных амплитуд колебаний, полученных из анализа спектров неупругого рассеяния нейтронов и предв. оценки функции рассеяния. Подгонка силовых постоянных осуществляется непосредственно по профилям наблюдаемых спектров. Метод применен для анализа спектра неупругого рассеяния нейтронов $\text{CH}_3\text{CCo}(\text{CO})_9$.
Ю. Н. Панченко

спектр

X. 1986, 19, N 16

CoCl_3 , [om. 32942] 1989

CoCl_3^+ Bauschlicher Ch.W (Fr),
Langhoff S.R., et al.,

M.N.,

meop.

pacrem.

J. Chem. Phys., 1989,
91, NY, 2399-2411.

CoCH_2^+

OM-37225

1992

Bauschleicher Ch. W., H.-,
Partridge R.

(Re) J. Chem. Phys., 1992, 97(10),
7471-7473

CoCH_2^+ Cundari T.R.,
Gordon M.S.

1992

meopem. *J. Phys. Chem.* 1992. 96,
paarem. N₂. C: 631-636.

(cav. $\bullet \text{SeSiH}_2^+ ; \underline{\text{III}}$)

CoCH_2^+

1993

10 Б1021. Исследование неэмпирическим методом молекулярных орбиталей электронной и геометрической структуры комплексов MCH_2^+ и MSiH_2^+ ($\text{M}=\text{Co, Rh и Ir}$).
Ab initio molecular orbital study of electronic and geometrical structures of MCH_2^+ and MSiH_2^+ complexes ($\text{M}=\text{Co, Rh, and Ir}$) /Musaev Djamataddin G., Morokuma Keiji, Koga Nobuaki //J. Chem. Phys. .—1993 .—99 ,№ 10 .—С. 7859—7872 .—Англ.

М.Н.

Неэмпирическим методом ССП в полном активном пространстве и многоссылочным методом конфигурац. вз-вия проведены расчеты электронной и геометрич. структуры низколежащих состояний (${}^3\text{A}_1$, ${}^3\text{A}_2$, ${}^3\text{B}_1$, ${}^3\text{B}_2$, ${}^1\text{A}_1$) метиленовых и силиленовых комплексов состава MYH_2 , где $\text{M}=\text{Co}^+$, Rh^+ и Ir , а $\text{Y}=\text{C}$ и Si . Показано, что силиленовые комплексы являются преимущественно комплексами

☒

(45)

х. 1994, № 10

RhCH_2^+

☒

IrCH_2^+ , CoSiH_2^+

RhSiH_2^+ , IrSiH_2^+

рищеровского типа с дополнительной акцепторной σ и π-связью, а аналогичные комплексы лежат в основном в линейном состоянии к широковещественным комплексам с ковалентной σ- и π-связями, где исключаются нек-рые соединения комплексов Rh, относящихся к комплексам рищеровского типа. №ео. 67.

И.Н. Ренген.

CoCH_2^+

1993

120: 144639j Ab initio molecular orbital study of electronic and geometrical structures of transition metal(M)-methylene ion(1+) and transition metal-silylene ion(1+) (MCH_2^+ and MSiH_2^+) complexes (M = cobalt, rhodium, and iridium). Musaev, Djamataddin G.; Morokuma, Keiji; Koga, Nobuaki (Inst. McL. Sci., Okazaki, Japan 444). *J. Chem. Phys.* 1993, 99(10), 7859-72 (Eng). Complete active space SCF (CASSCF) and internally contracted single and double CI from the CASSCF ref. functions (MR-SD-CI-CASSCF) methods were used to calc. electronic and geometrical structures of low-lying $^3\text{A}_1$, $^3\text{A}_2$, $^3\text{B}_1$, $^3\text{B}_2$, and $^1\text{A}_1$ states of the title complexes. The ground state of CoCH_2^+ , IrCH_2^+ , and all considered MSiH_2^+ complexes is the nearly degenerate $^3\text{A}_1$ and $^3\text{A}_2$ states. For RhCH_2^+ the ground state is $^1\text{A}_1$, with $^3\text{A}_1$ and $^3\text{A}_2$ states lying only 4-5 kcal/mol higher. The $\text{M}^+ = \text{CH}_2$ bond is ~10-20 kcal/mol stronger than the $\text{M}^+ = \text{SiH}_2$ bond. The best calcd. binding energies are 80.3 for CoCH_2^+ , 78.3 for RhCH_2^+ , 113.1 for IrCH_2^+ , 61.5 for CoSiH_2^+ , 69.3 for RhSiH_2^+ , and 93.7 kcal/mol for IrSiH_2^+ , which are in general in good agreement with exptl. values. By Using the MC/LMO/CI technique was shown that all present silylene complexes have mostly Fischer-type character with donor-acceptor σ and π bond. In contrary, the analogous methylene complexes are mostly Schrock-type complexes with covalent σ and π bond, except $^3\text{A}_1$, $^3\text{B}_2$, and $^3\text{B}_1$ states of RhCH_2^+ , which have mostly Fischer-type character.

ab initio calc.

empirical

IC calculations

AsH_3 , D_2



C.A. 1994, 120, N12

CoCH_2^+

[Om. 37 379]

1993

Musaev D. F., Morokuma K.,
Frederick H. et al.,
Suzukura,
ab initio g. Phys. Chem., 1993, 97,
partem 11435-11444.

CoCH_2^+

1995

Holthausen M. C.,
Mohr M. et al.

meop.
parcim
sheepwater
C6.9301

Chem. Phys. Lett.
1995, 240 (4), 245-52.

(cet. ScCH_2^+ ; --^{III})

$\text{Co}^+ - \text{CH}_4$

1996

124: 186065g Guided ion-beam determination of the $\text{Co}^+ - \text{H}_2$ bond dissociation energy. Haynes, Chris L.; Armentrout, P. B. (Salt Lake City, UT 84112 USA). *Chem. Phys. Lett.* 1996, 249(1,2), 64-70 (Eng). A guided ion-beam tandem mass spectrometer with a flow tube ion source is used to det. the 0 K bond dissociation energy of $\text{Co}^+ - \text{H}_2$ from ligand exchange of CoCH_4^+ with D_2 and from collision-induced dissociation (CID) of $\text{CoH}_2^+ + \text{Xe}$. Given $D_0(\text{Co}^+ - \text{CH}_4) = 0.93 \pm 0.06$ eV detd. in the authors' labs, the endothermicity of the ligand exchange reaction provides $D_0(\text{Co}^+ - \text{D}_2) = 0.74 \pm 0.07$ eV. The direct CID of CoH_2^+ process yields $D_0(\text{Co}^+ - \text{H}_2) = 0.82 \pm 0.11$ eV. After zero-point energy corrections, the av. of these two results yields 0.76 ± 0.10 eV. This value agrees nicely with those detd. by equil. methods and theory.

D_0 ,
124
 $\text{Co}^+ - \text{D}_2$
 $\text{Co}^+ - \text{H}_2$

C.A. 1996, 124, N/4

CoCr₂+H₂ [Om. 39088] 1997

reference. Hashin Y.F., But S.K.,
numerous
Zelenov J. Phys. Chem. 1997,
A101, N43, 8085-8093.

Density ~~of~~ Functional
Additives to the Mechanisms

and the Potential Energy Surfaces
of $\text{MCP}_2^+ + \text{H}_2$ Reactions.

The Call to Cobalt and
Rhodium ($M = \text{Rh}, \text{Co}$)

F: CoCH₂+

P: 3

132:286183

Photofragment Spectroscopy of
FeCH₂+, CoCH₂+, and NiCH₂+ near the M+-CH₂
Dissociation Threshold. Husband, John;
Aguirre, Fernando; Thompson, Christopher J.;
Laperle, Christopher M.; Metz, Ricardo B.

Department of Chemistry, University of
Massachusetts Amherst, MA 01003, USA J. Phys. Chem.
A, 104(10), 2020-2024 (English) 2000, ~~Amherst~~

C.A. 2000

QNY 405361

2000

Photofragment spectra of jet-cooled MCH₂⁺ (M = Fe, Co, Ni) have been measured. The authors investigation of NiCH₂⁺ represents the first reported spectroscopic study of this mol. A spectroscopic threshold is obsd. for each of the three systems. In addn. to imposing strict upper limits on the M+-CH₂ bond strengths, these results further the discussion concerning the interpretation of spectroscopic thresholds as thermodn. limits. The measured upper limits are: D. Δ .(Fe+-CH₂) \leq 342 \pm 2 kJ/mol, D. Δ .(Co+-CH₂) \leq 331 \pm 2 kJ/mol, and D. Δ .(Ni+- CH₂) \leq 295 \pm 5 kJ/mol. Three distinct, 2-nm-wide peaks are obsd. in the photofragment spectrum of CoCH₂⁺, but the spectra lack sharp structure above threshold.